

機能性部位として電子アクセプターを連結した
 π 共役安定ラジカルの光励起四重項状態 (3)
 (阪市大院理) ○武本庸平・手木芳男

【序】我々が以前に行った研究で、 π トポロジーを制御した右図に示したフェニルアントラセン-安定ラジカル系**1**が光励起四重項状態を示すことが解明されている。また、この**1**にBODIPYと呼ばれるエネルギーアクセプターを付けた**2**は光励起四重項状態を示し、電荷分離イオン対状態を経由する特異な電子分極を起こす事が解っている[1-2]。今回、この**2**のBODIPY部分を、弱い電子アクセプターであるナフチルイミドに変えた**3**を合成し、その基底状態と光励起状態におけるスピン整列と磁気的性質を解明する目的で光学スペクトル、ESR、時間分解ESR(TRESR)を測定した。得られた結果を**1**及び**2**と比較して、**3**における電荷分離状態の形成と、それを経由した特異な動的電子スピン分極(DEP)を検証する。

【実験】今回測定に用いたTRESR装置は、ESR分光器(JEOL TE300)とNd:YAGレーザー、高速オシロスコープを組み合わせて自作したものを用いた。TRESR測定は30Kで行い、剛体溶媒としてブチロニトリルを用いグラス状態で測定した。

【結果と考察】図1(a)に、355nmで光励起した際に得られた**3**のTRESRの結果を**1**及び**2**の結果とあわせて示す。**3**のTRESRスペクトルに微細構造分裂が確認でき、その分裂幅は**1**の光励起四重項状態に近いものであった。しかしながら、そのDEPのパターンは、**1**のTRESRと明らかに異なる(図1(c))。今回見られた**3**のDEPパターンは以前に報告した**2**の電荷分離イオン対状態を経由する光励起四重項状態のもの(図1(b))に非常に近い結果が得られた。この結果より、**3**の光励起四重項状態の形成には電子アクセプターであるナフチルイミド部位への光誘起電子移動を介した電荷分離イオン対状態

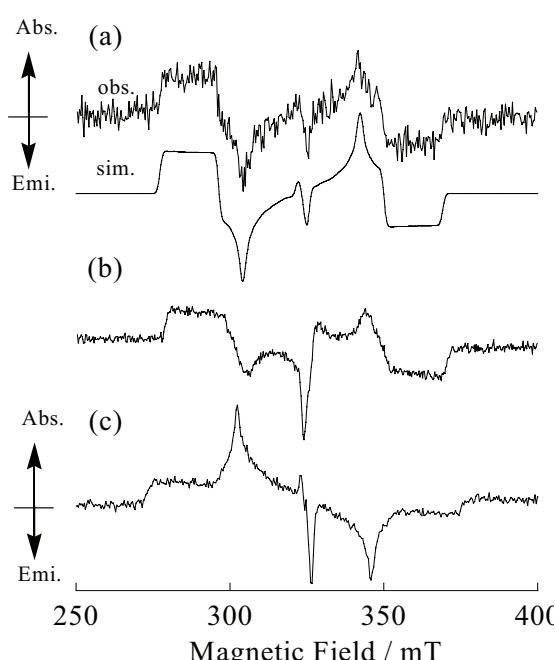
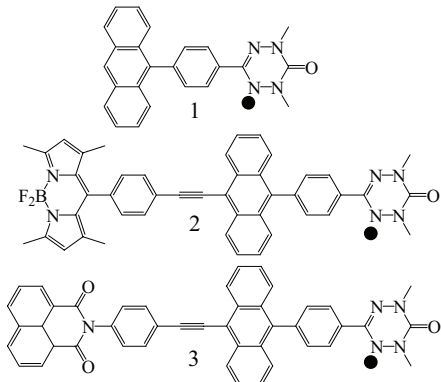


図1 (a)355nm励起で得られた**3**のTRESRスペクトル。(b)505nm励起で得られた**2**のTRESRスペクトル (c)355nm励起で得られた**1**のTRESRスペクトル

の関与が考えられる。図 1(a)の下図のシミュレーションスペクトルは、イオン対状態を経由した電子移動過程によって形成される四重項状態を仮定したものとイオン対状態を通らずに直接的な系間交差によって形成される四重項を仮定したものの足し合わせで得られたものであり、両者の比重は 7.8 : 2.2 であった。一方、図 2 には 435nm で励起した際に得られた TRESR スペクトルとそのシミュレーションを示した。図 2 の DEP パターンは、同じ分子 **3** のものであるにもかかわらず 355nm で励起したものとは明らかに異なっていた。このスペクトルはイオン対状態を通らずに直接的な系間交差によって形成される四重項を仮定したスペクトルシミュレーションにより良好に再現できた。これらの結果より、**3** では 355nm で励起した場合、イオン対状態を経由する経路により四重項が形成され、一方より低エネルギーの 435nm で励起した場合はイオン対状態を経由せず、直接的な系間交差によって四重項が形成することを示している。このことから、レーザー励起後の過程は、図 3 の様になっていると考えられる。

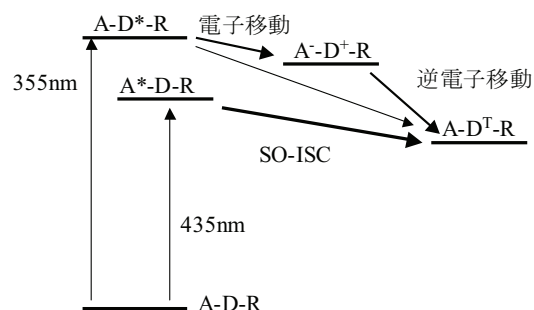


図3 **3** のレーザー励起後の過程の模式図

3 の微細構造分裂定数の値は、 $D = 0.0215 \text{ cm}^{-1}$ 、 $E = 0.0012 \text{ cm}^{-1}$ とシミュレーションによって決定した。この D 値は **1** と比べて 7%ほど小さく、**2** と非常に近い値であった。これは不対電子がアクセプター部位に非局在化しているためであると考えられる。図 4 に DFT 計算によって得られた励起四重項のスピン密度分布を示した。この結果は、不対電子の非局在化の程度はフェニル基までしか起こっていないことを示している。**2** の非局在化の程度も **3** とほぼ同様になっていると推測でき、**2** と **3** の両者が非常に近い D 値と E 値になることが、このことからよく説明できる。

今後は、過渡吸収を測定し、イオン対状態を検出していくことを計画している。

[1] Y. Teki, H. Tamekuni, J. Takeuchi, and Y. Miura, *Angew. Chem. Int. Ed.*, **45**, 4666.(2006)

[2] Y. Teki, H. Tamekuni, K. Haruta, J. Takeuchi, Y. Miura, *J. Mater. Chem.*, **18**, 381-391(2008)

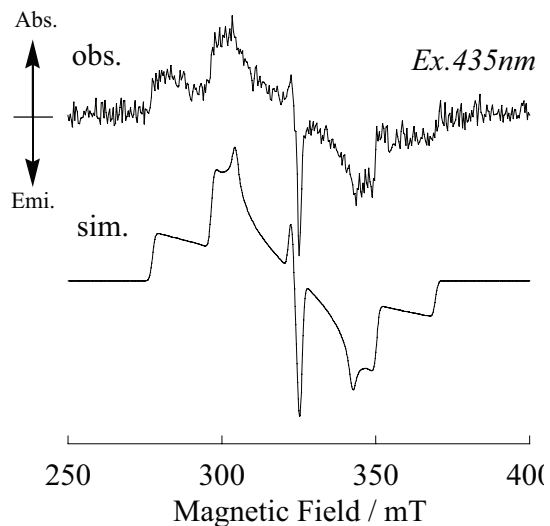


図2 **3** の 435nm で励起させた TRESR

図4 に DFT 計算によって得られた **3** の励起四重項のスピン密度分布

